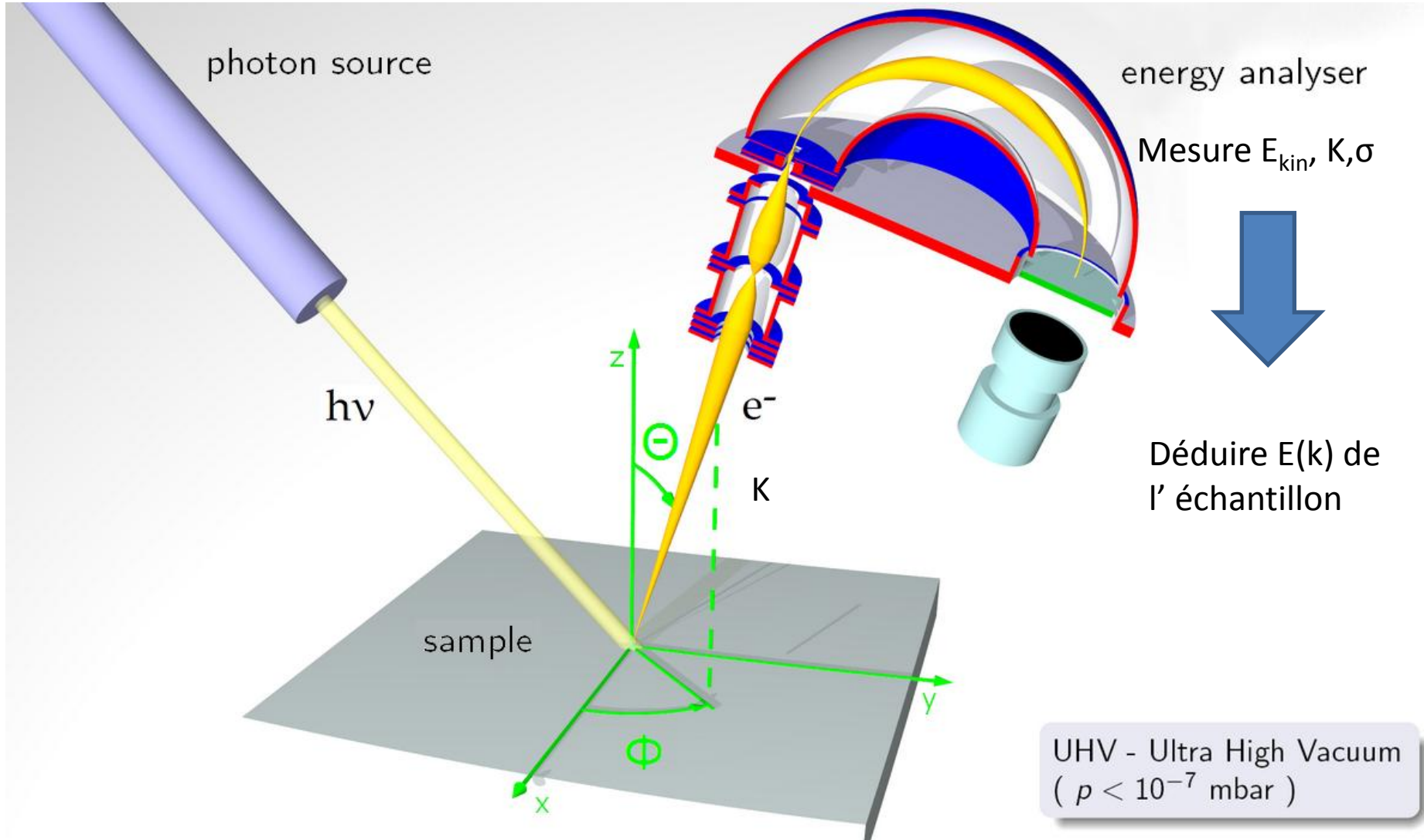




Etudes des états de surface ARPES et STM

Laurent Levy no 2

Principe de l'ARPES



Relation energie-quantite de mouvement

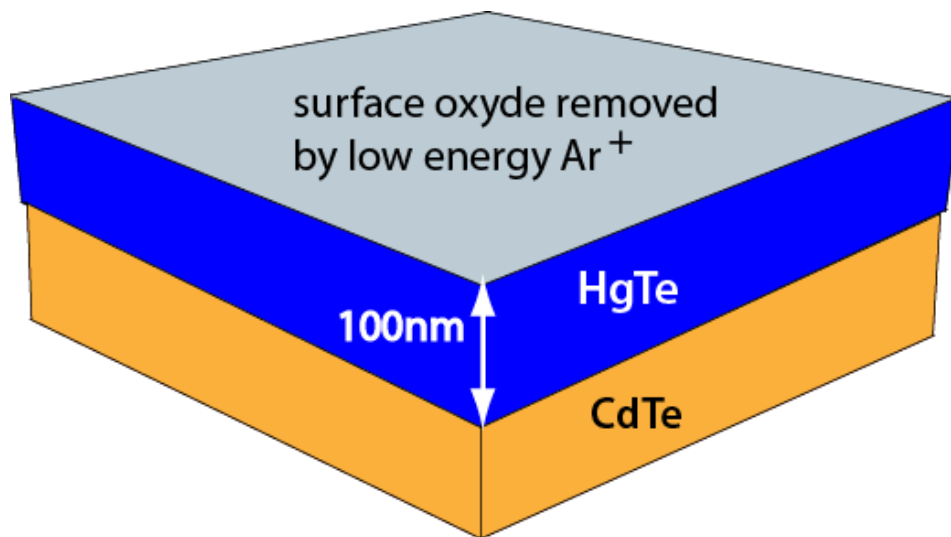
$$k_{\parallel} = K_{\parallel} = \frac{\sqrt{2mE_{kin}}}{\hbar} \sin \theta$$

$$k_{\perp} = \frac{\sqrt{2m(E_{kin} \cos^2 \theta + V_0)}}{\hbar}$$

« bonne surface »

$$h\nu = E_{kin} + \phi + E_B$$

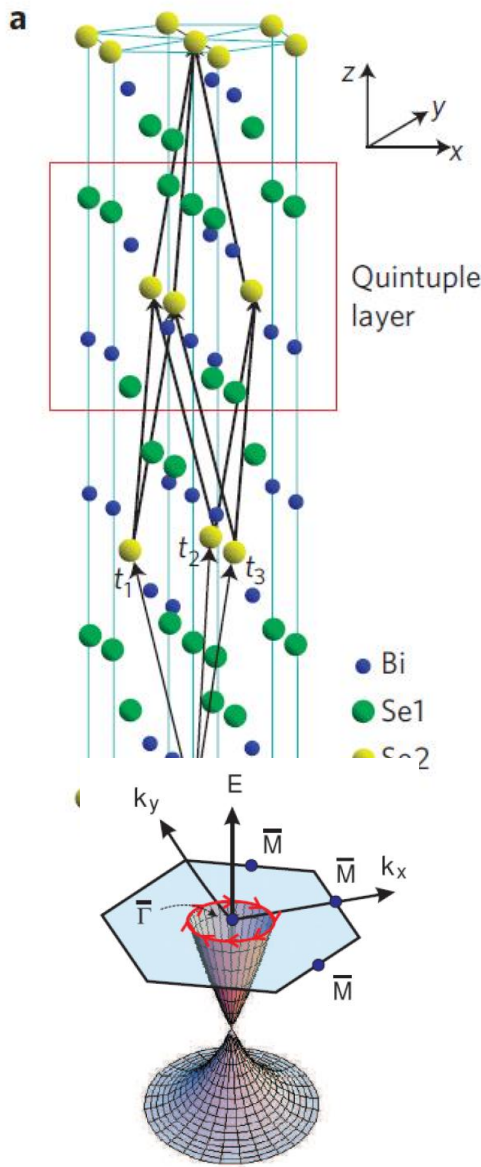
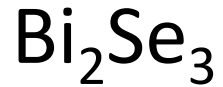
Ce qu'on cherche



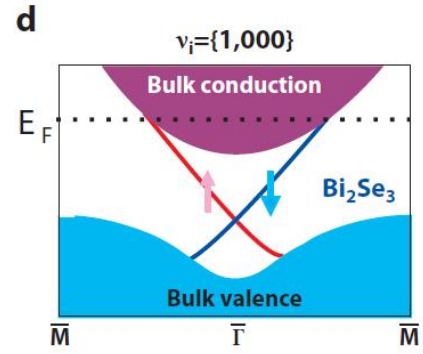
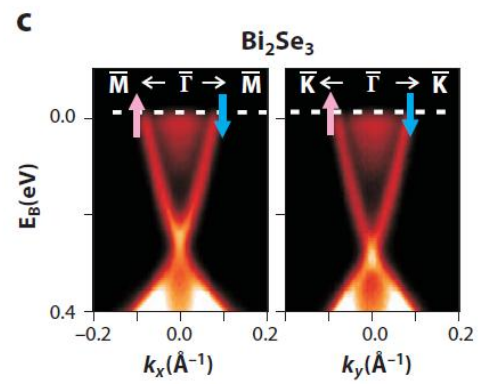
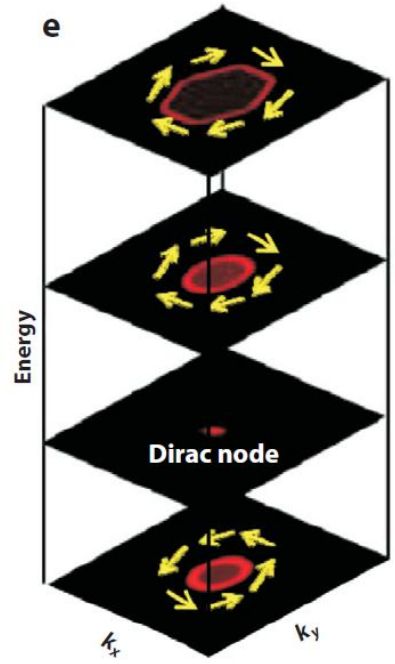
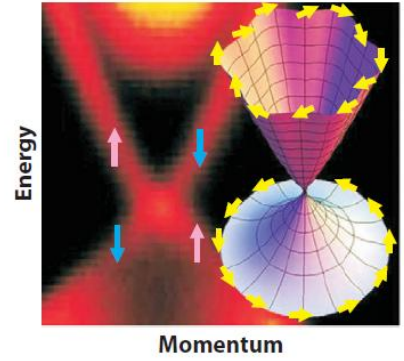
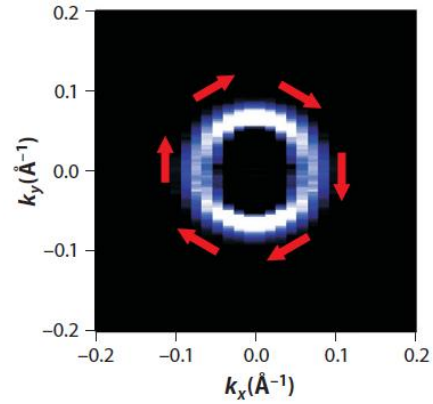
Material workfunction
HgTe 5.8 eV

Pour les états de surface $k_{\perp}=0$

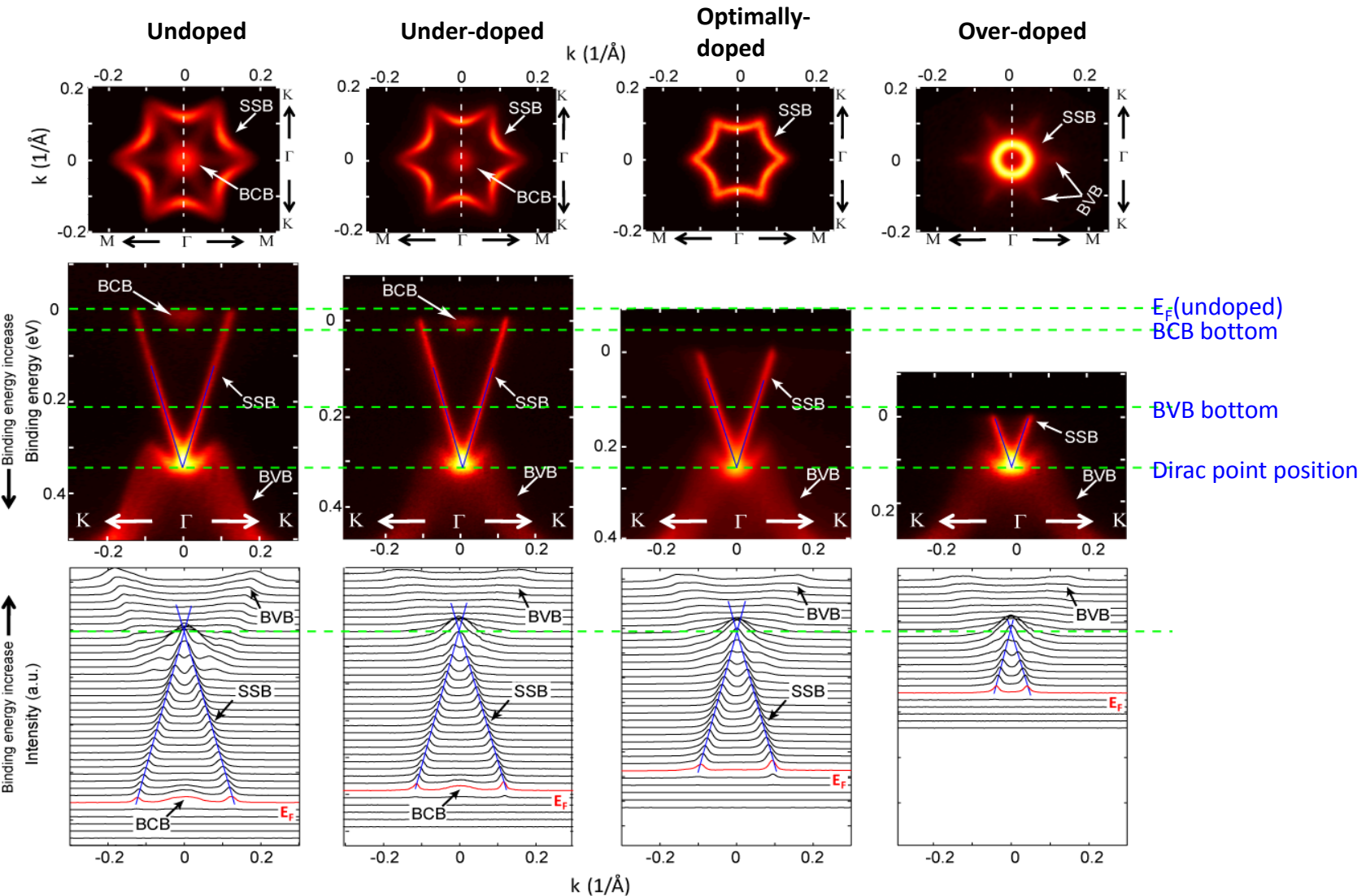
Single Dirac cone topological insulators with large gaps:



Spin resolved ARPES (Hasan)



Bi₂Te₃-dopage étudié en ARPES



Spectre spin-orbital des états de surface en champ magnétique

$H = H_o + H_s$ Hamiltonien avec spin

$$H_o = \frac{\Pi^2}{2m_*} + v(\Pi_x \sigma_y - \Pi_y \sigma_x) \quad \vec{\Pi} = \vec{p} + e\vec{A} \quad \vec{A} = \begin{pmatrix} By \\ 0 \\ 0 \end{pmatrix} \quad \text{Solutions de la forme } e^{ik_x x} |n\rangle$$

$$H_s = g\mu_B B \sigma_z \quad a = \frac{\ell_B}{\hbar\sqrt{2}} (\Pi_x - i\Pi_y) \\ [a, a^+] = 1$$

$$H = \hbar\omega_c \left(aa^+ + \frac{1}{2} - \frac{g}{2} \sigma_z \right) + i\sqrt{2}\eta (a\sigma^- - a^+\sigma^+) \quad |n\rangle_{\pm} = \begin{pmatrix} \cos \alpha_n |n\rangle \\ i \sin \alpha_n |n-1\rangle \end{pmatrix}$$

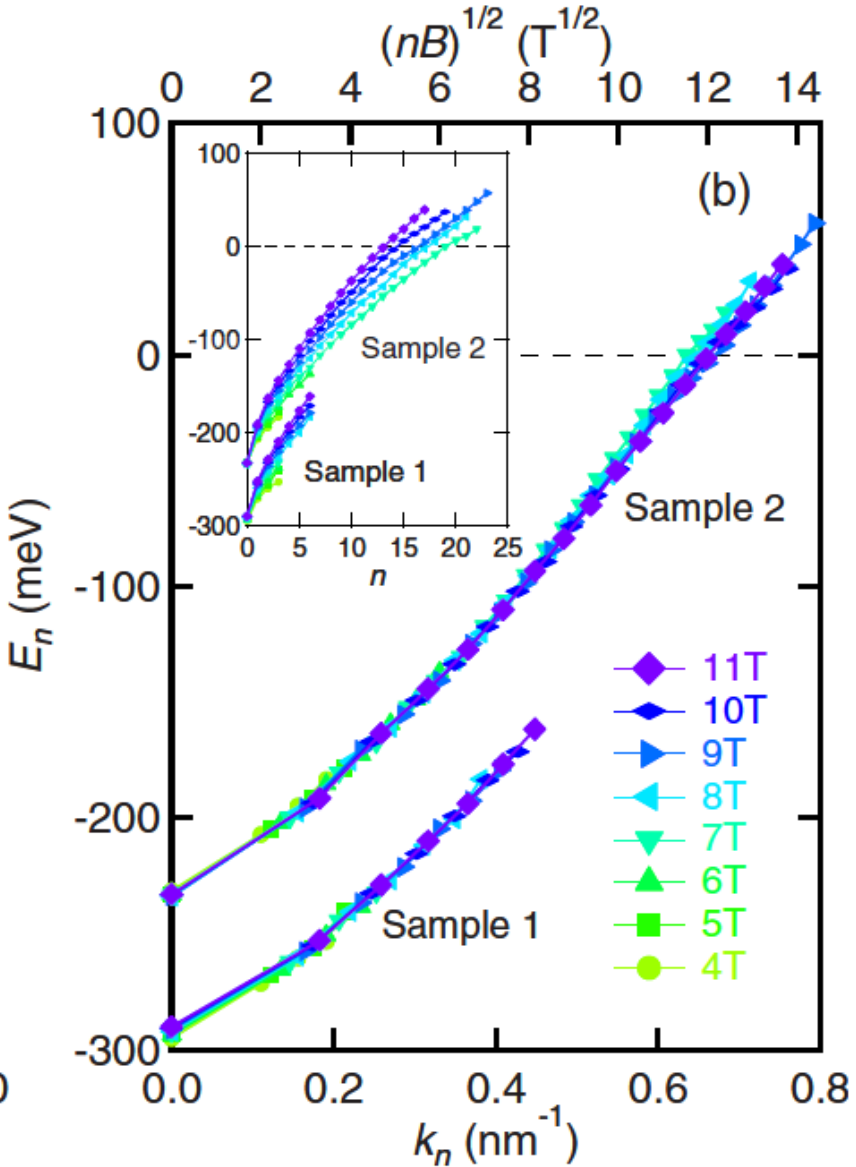
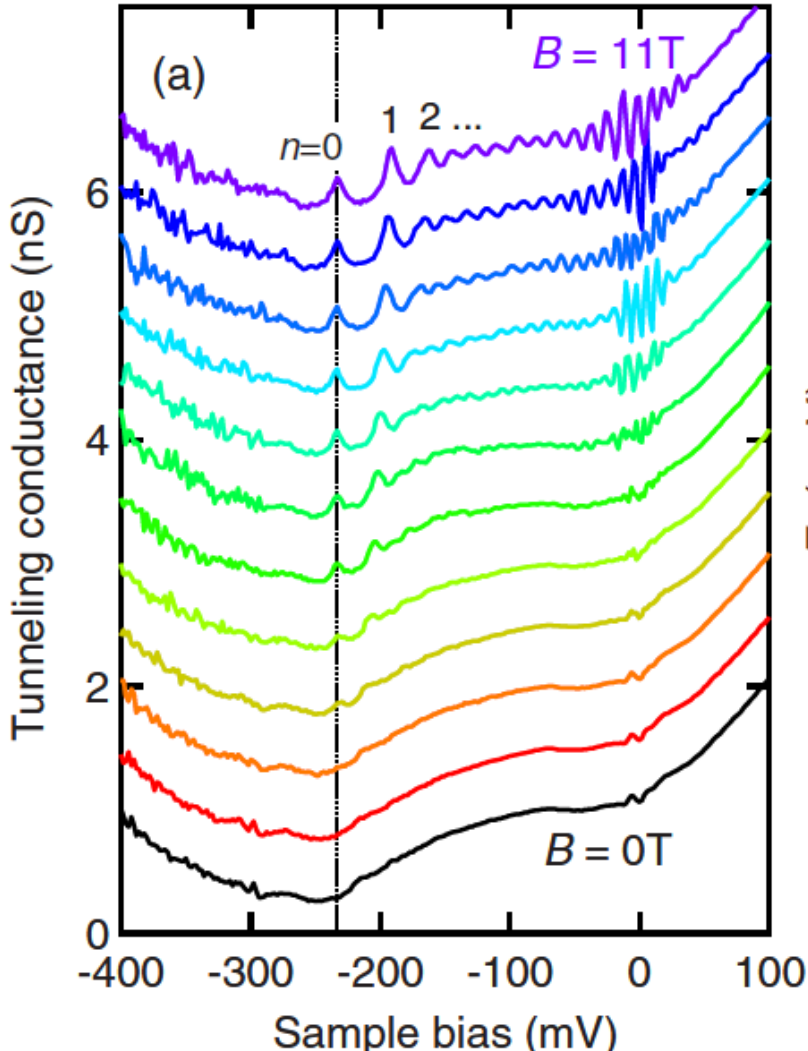
$$g = \frac{m_*}{2m_e} g_z \quad \eta = vm_* \frac{\ell_B}{\hbar}$$

$$\epsilon(n)_{\pm} = \hbar\omega_c n \pm \sqrt{\left(\frac{(1-g)\hbar\omega_c}{2} \right)^2 + 2nv_F^2 eB}$$

Mesure ?

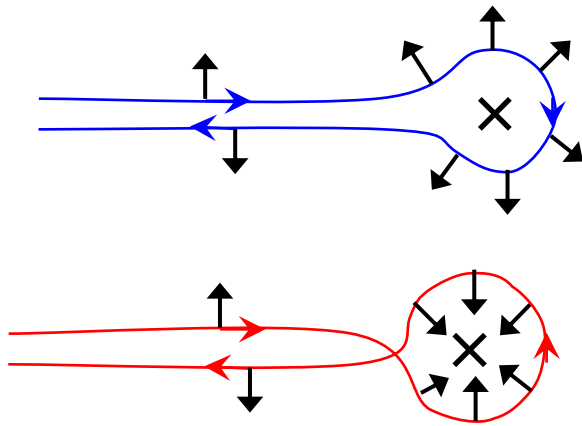
Bi₂Se₃: UHV spectroscopie STM en champ

Hanaguri 2010



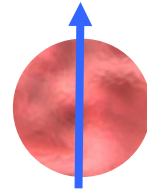
Isolant topologique et inversion par rapport au sens du temps

Suppression de la retrodiffusion

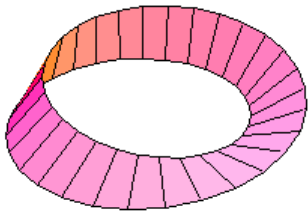


$$\left| e^{i(\phi+\pi/2)} |A_{\uparrow\downarrow}| + e^{i(\phi-\pi/2)} |A_{\uparrow\downarrow}| \right|^2 \equiv 0$$

Spin=1/2



$$\psi \Rightarrow -\psi$$

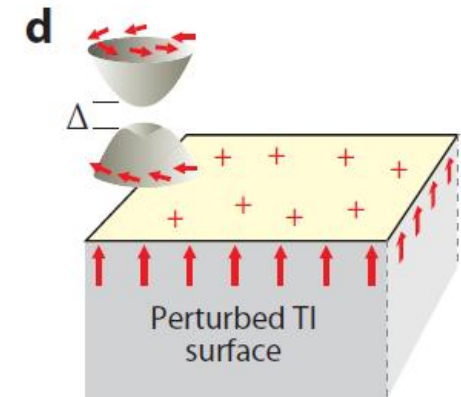
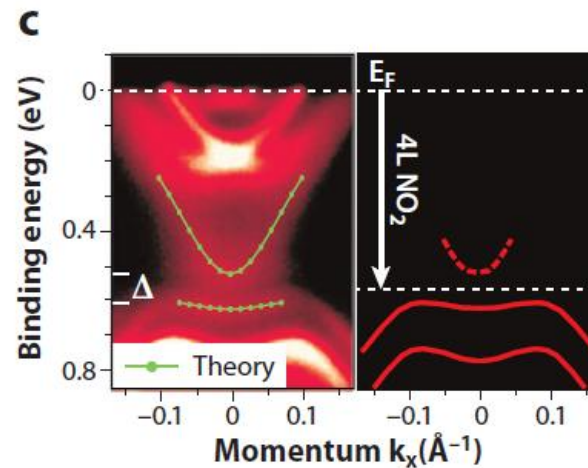
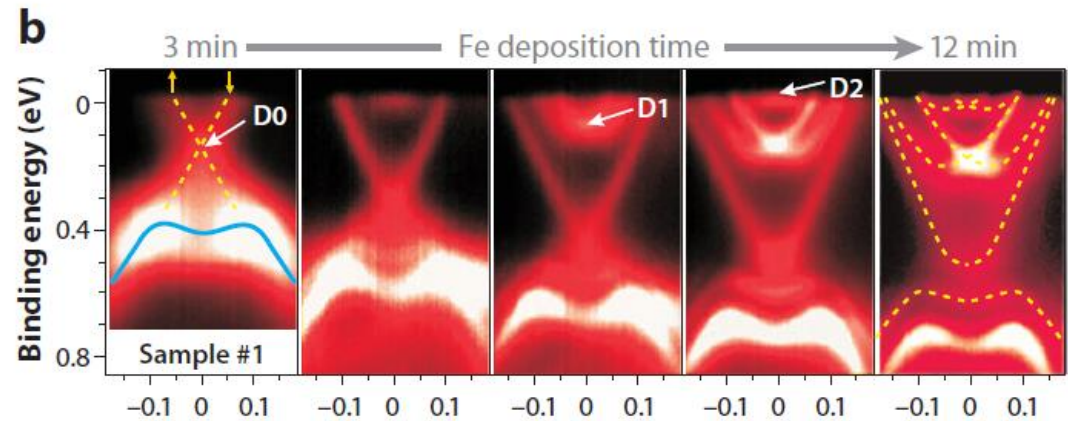
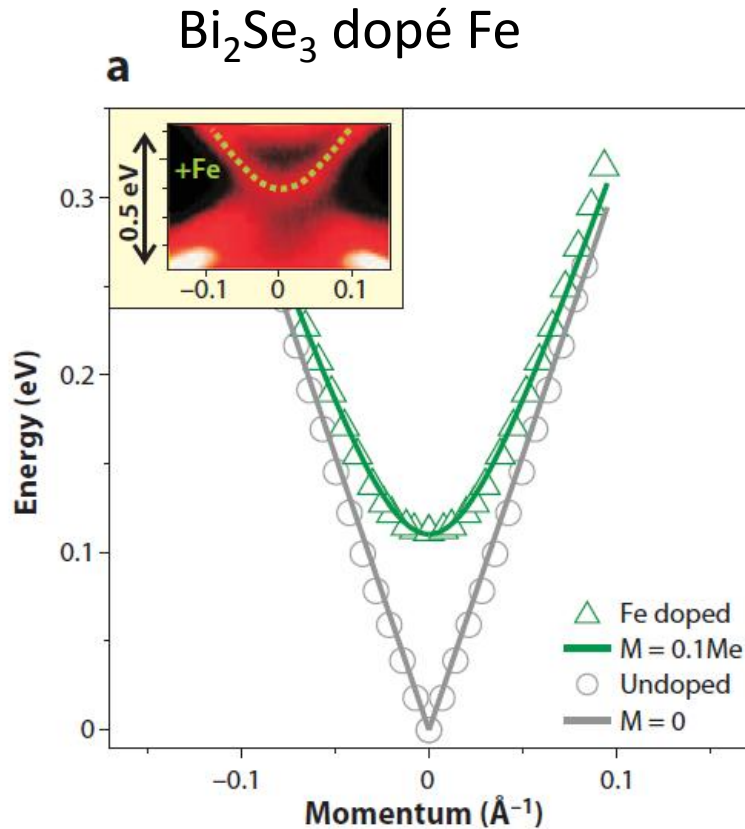


Impuretés magnétiques tuent $t \rightarrow -t$

Expériences ?

Effet du dopage magnétique sur le spectre

Dopé initialement p avec Ca 0.25%



Rupture $t \rightarrow -t$
Hybridation états de volume et de surface

Apparition de splitting de spin: effet Rashba

Propriété électromagnétiques des isolants topologiques

$$H = \int d^3r \left(\epsilon \frac{E^2}{2} + \frac{B^2}{2\mu} \right)$$

Energie

$$S = \int d^3r dt \left(\epsilon \frac{E^2}{2} - \frac{B^2}{2\mu} \right)$$

Action, intégrale du Lagrangien

$$S_{top} = \left(\frac{\theta}{2\pi} \right) \left(\frac{\alpha}{2\pi} \right) \int dr dt \vec{E} \cdot \vec{B}$$

terme topologique

Constante de structure fine

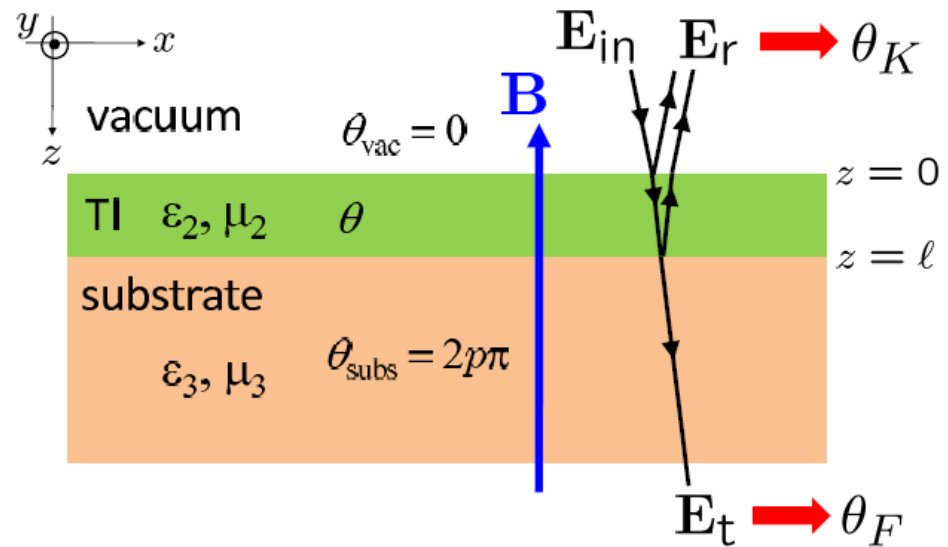
Système invariants $t \rightarrow -t$

$\Theta=0$, isolants triviaux

$\Theta=\pi$, isolants topologiques

Comment observer θ ?

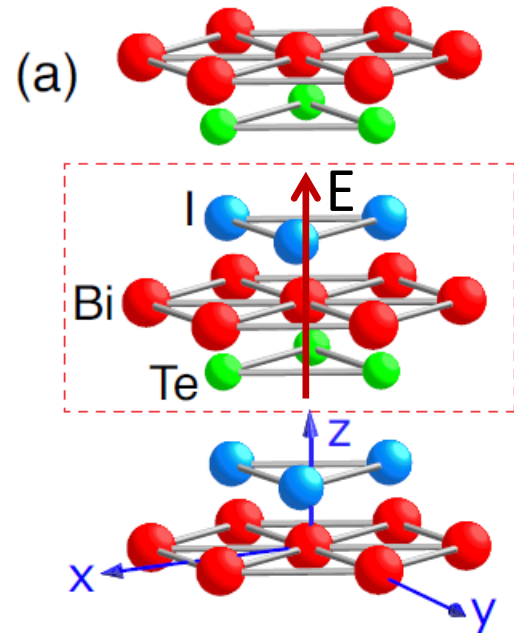
Dépôt de film magnétique $\Theta=\pi \rightarrow 0$



Rotation Faraday et effet Kerr

Les effets sont soit petits ($\alpha=1/137$)
soit nuls (compensation des 2 faces)

L'effet Rashba- BiTeI – système polaire

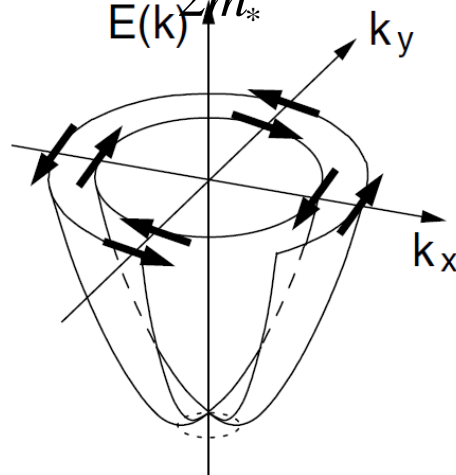


$$H = \frac{p^2}{2m_*} + v\vec{\sigma} \cdot (\vec{p} \times \vec{E})$$

← Champ magnétique effectif dans le référentiel propre de l'électron

$$\begin{aligned} & \hbar v E (\sigma_x q_y - \sigma_y q_x) \\ &= \hbar v E \begin{pmatrix} 0 & iq^+ \\ -iq^- & 0 \end{pmatrix} \end{aligned}$$

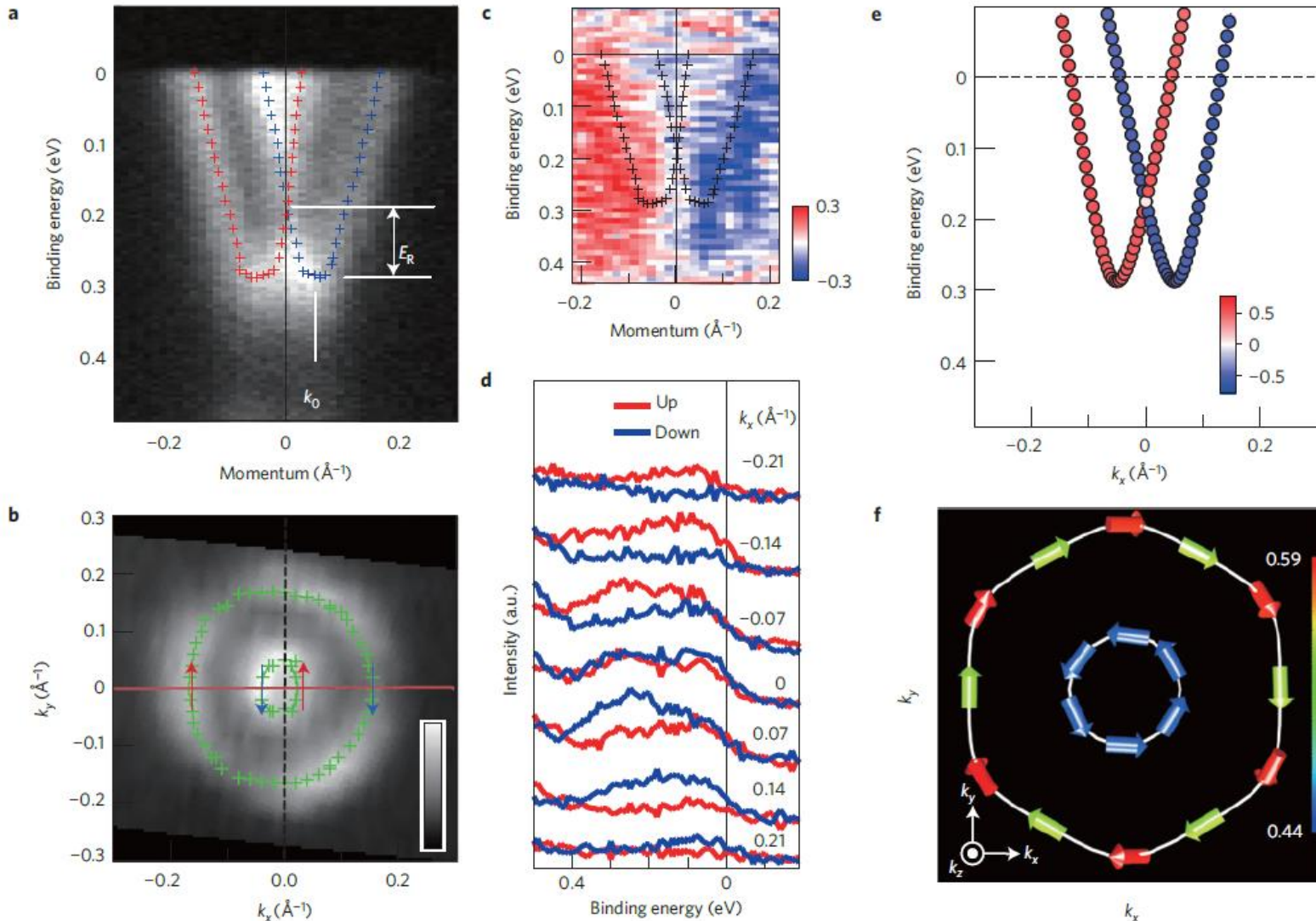
$$\varepsilon_{\pm} = \frac{(\hbar q)^2}{2m_*} \pm \hbar v E q_{\parallel} = \frac{\hbar(q - q_0)^2}{2m_*} - \frac{(\hbar q_0)^2}{2m_*}$$



Attention: les paraboles sont remplies !

Quand on change de face
Le champ électrique change de signe

ARPES résolue en spin: spectre Rashba de BiTeI

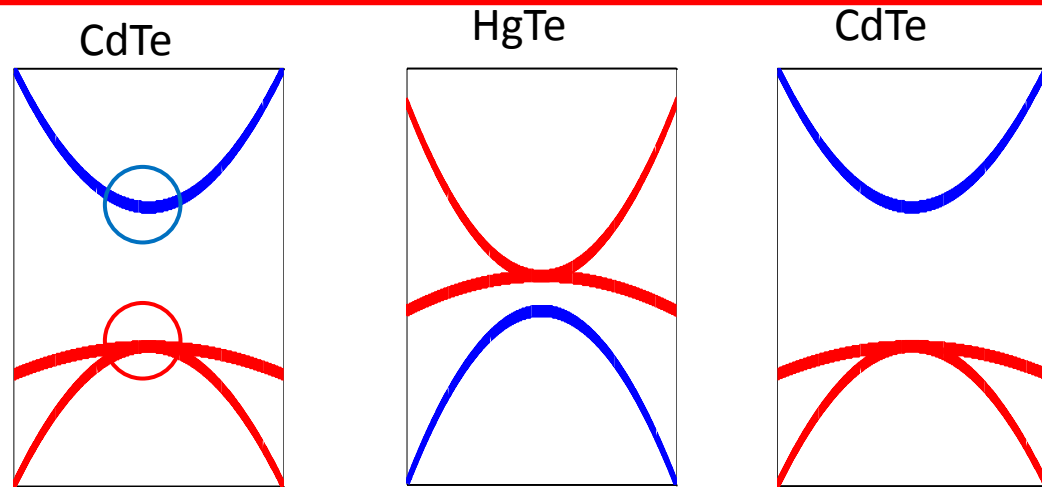
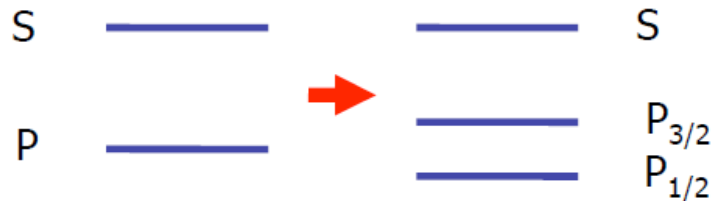


Ishizaka et al, Nat. Mat (2012)

Possibilité de fermer le gap isolant
sous pression hydrostatique (Nagaosa)

Autres familles d'isolants topologiques: HgTe, InAs/GaSb

Structure de bande des HgTe-CdTe

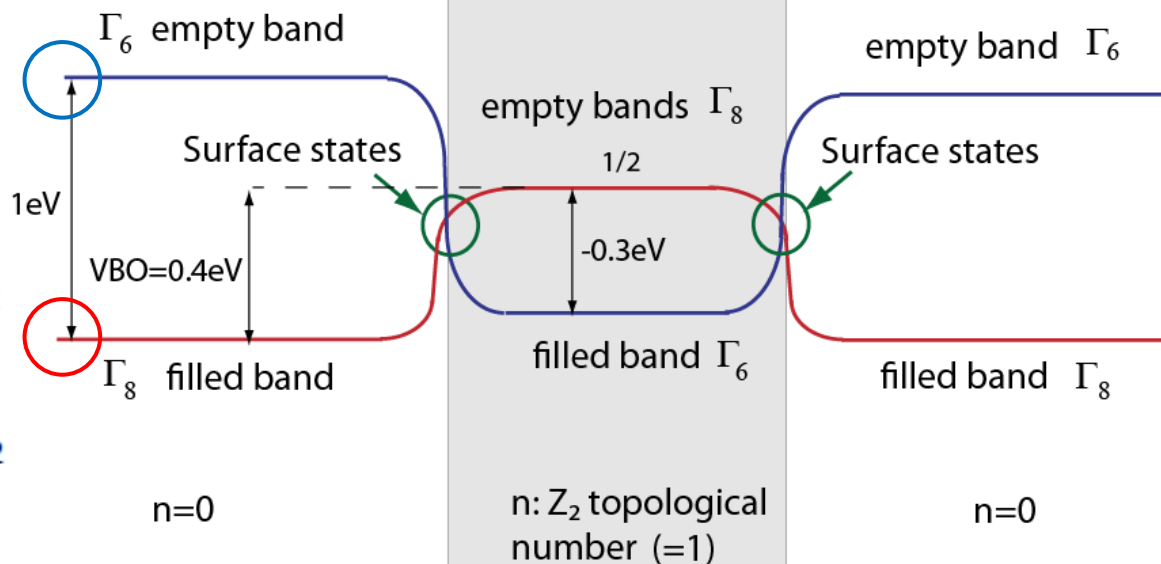
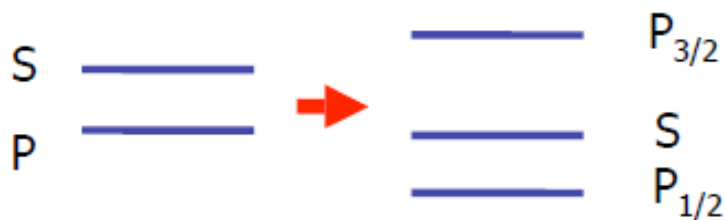


$\text{Cd}_{0.7}\text{Hg}_{0.3}\text{Te}$

HgTe

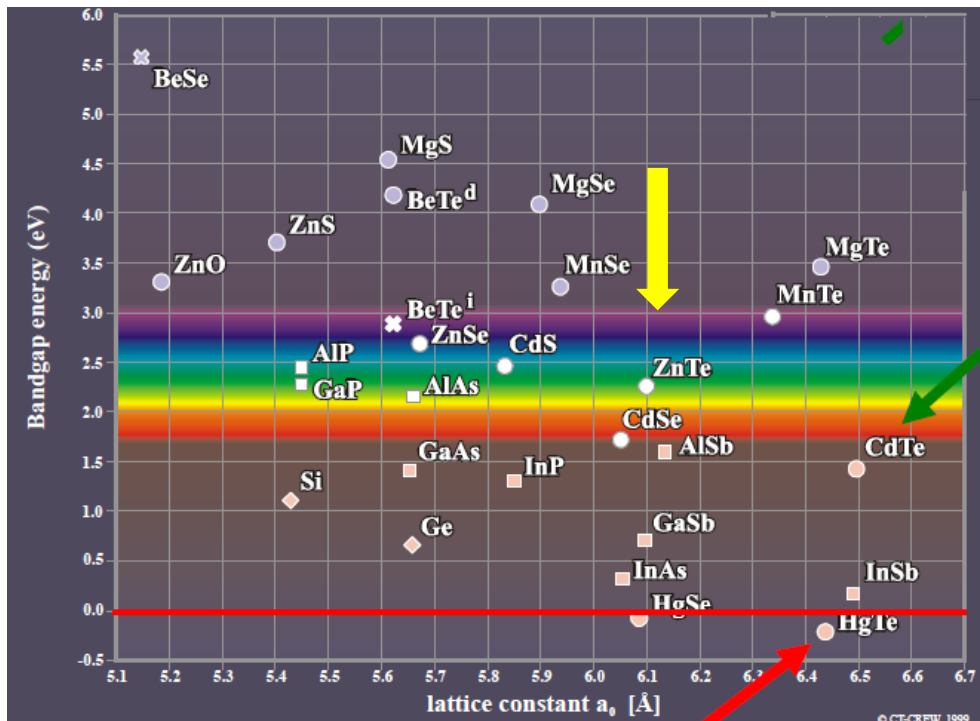
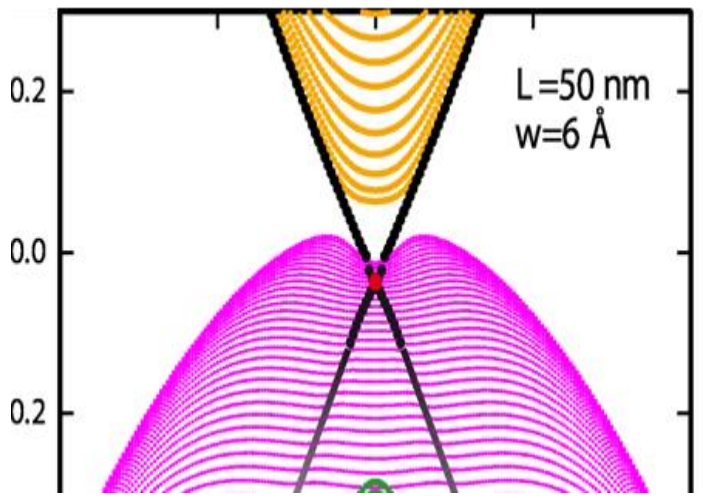
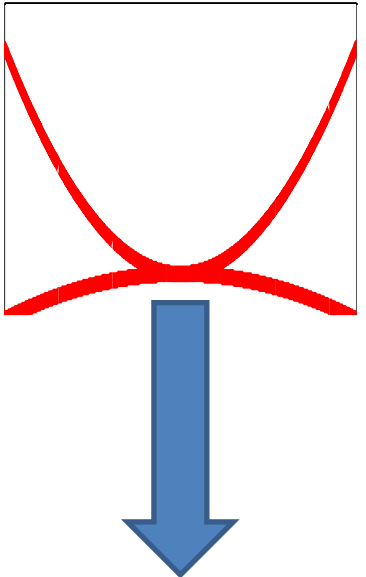
$\text{Cd}_{0.7}\text{Hg}_{0.3}\text{Te}$

- Fort spin orbit \Rightarrow inversion de bande



Ouverture de gap par contrainte

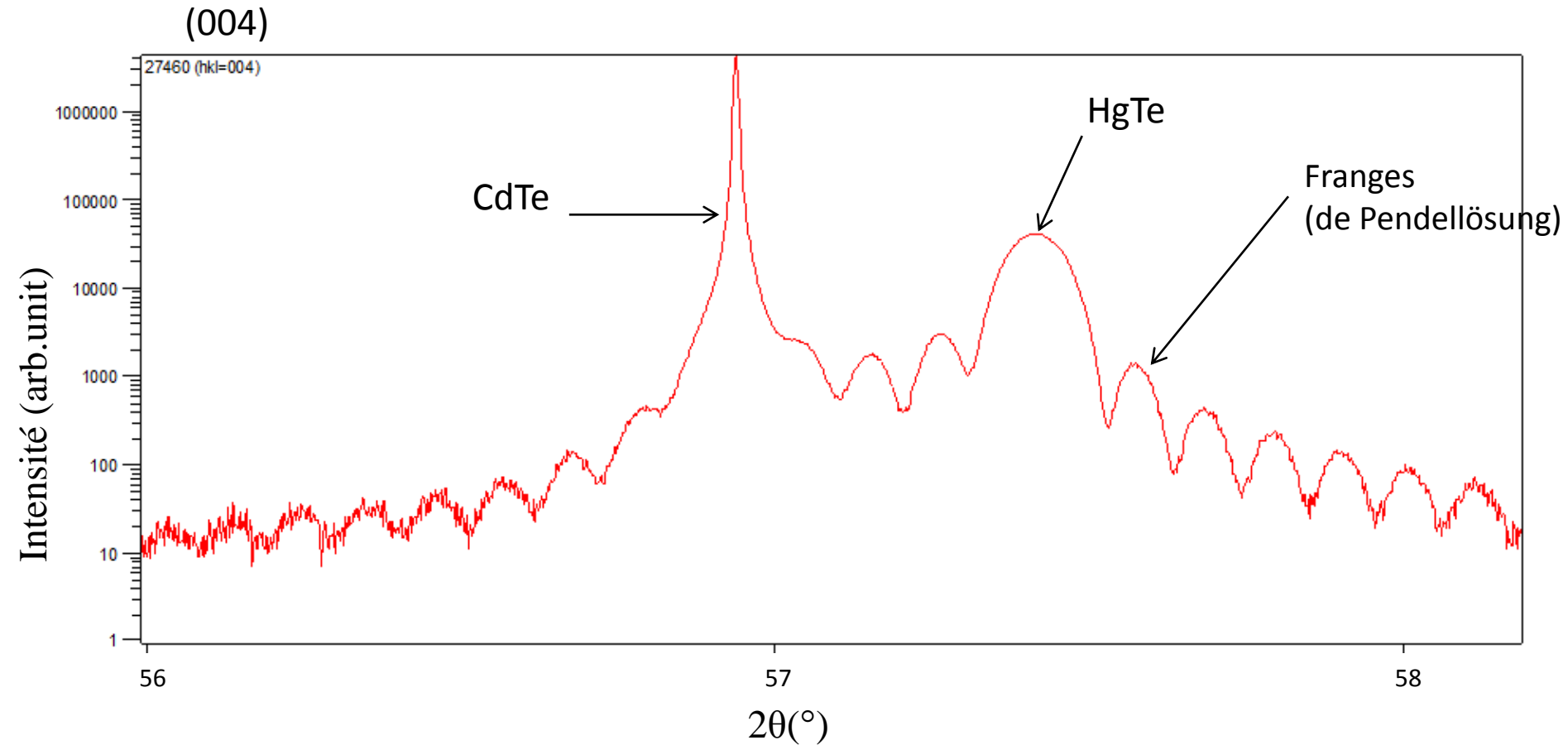
Semi-metal \rightarrow Isolants topologiques



HgTe, $\Delta_{so} = 0.99\text{eV}$ Strong SO
 CdTe, $\Delta_{so} = 0.92\text{eV}$

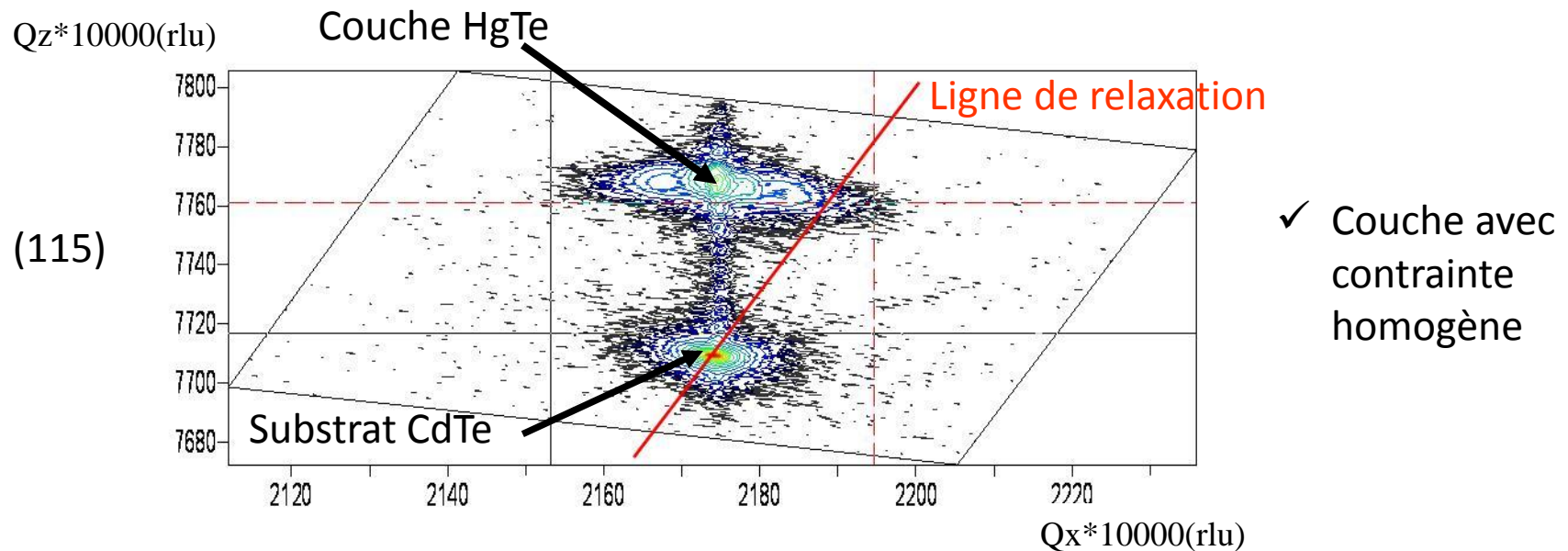
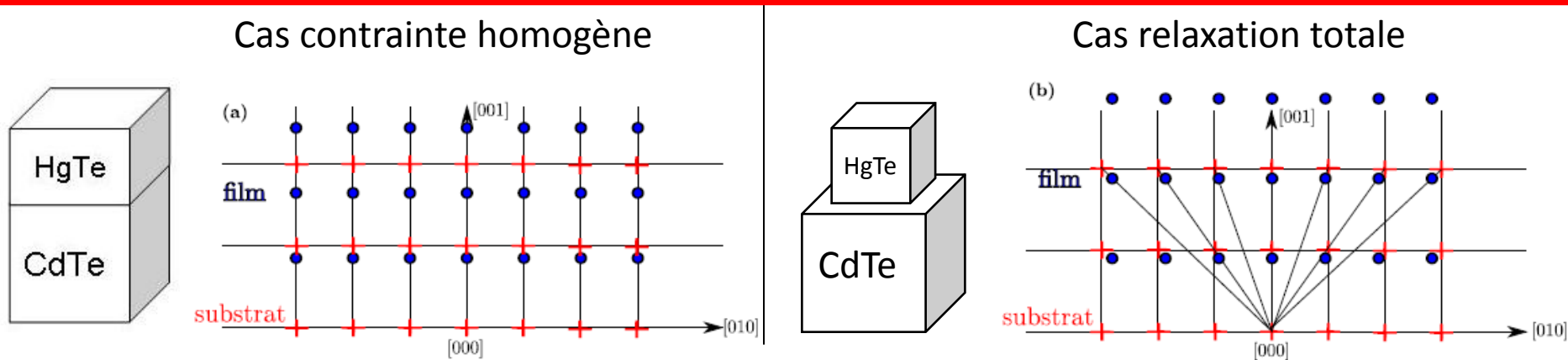
Contrainte et structure HOMOGENE

Ech : 27460 -> **buffer CdTe** + couche HgTe (100 nm)



- Bonne qualité cristalline
- Contrainte uniaxiale -> estimée à 0,6%

Cartographie des contraintes dans l'espace réciproque

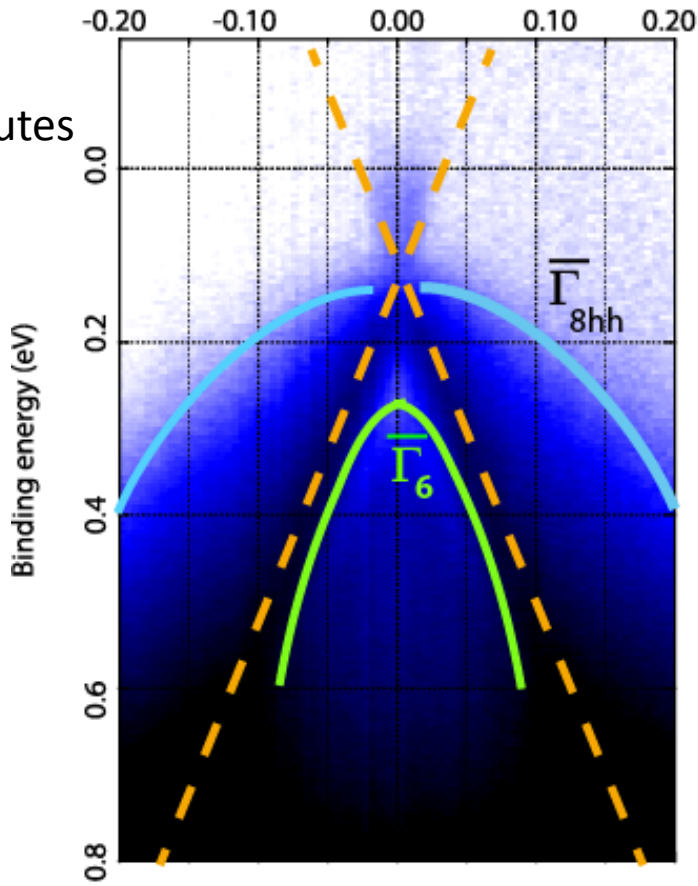


Ech : 27441 : épaisseur 150 nm

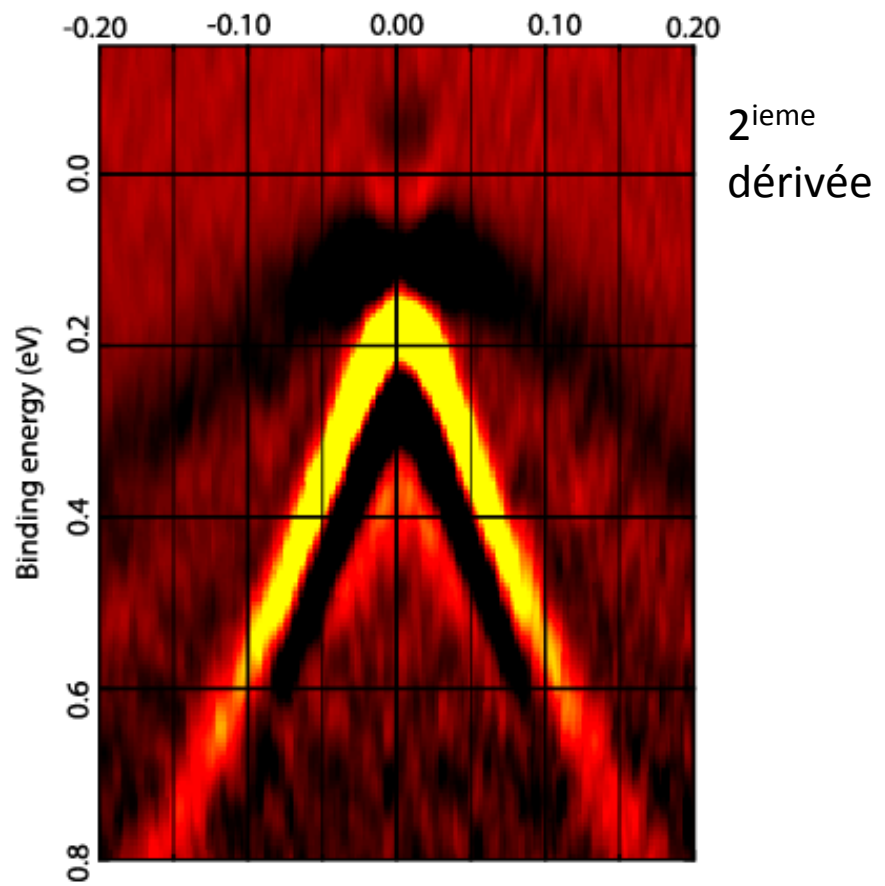
Spectre ARPES (polarisation-lineaire)

Spectre des etats de surface peu affecte par les etats de volume

a) k_y (\AA^{-1})



b) k_y (\AA^{-1})

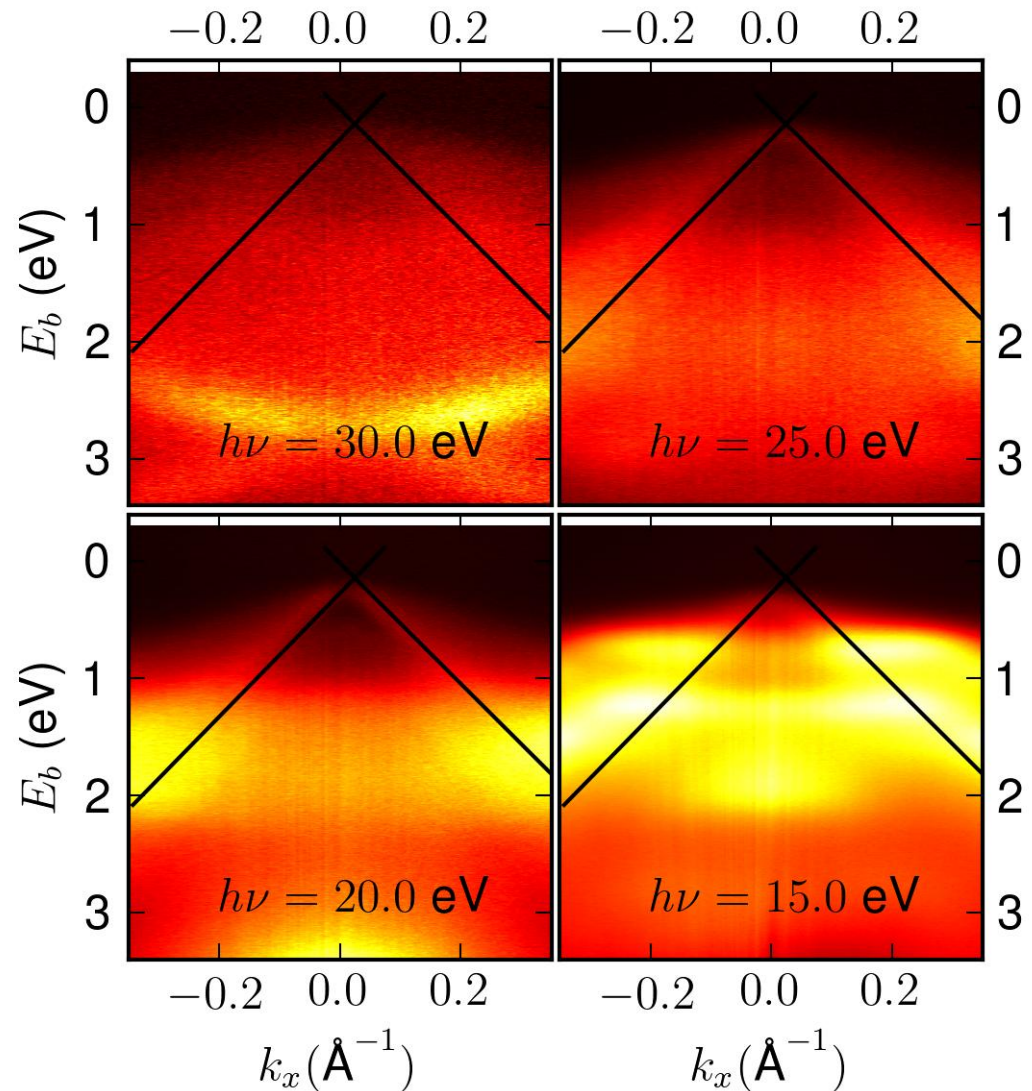


Point de Dirac \approx max de la bande Γ_{8hh} : degenerescence accidentelle!!!!

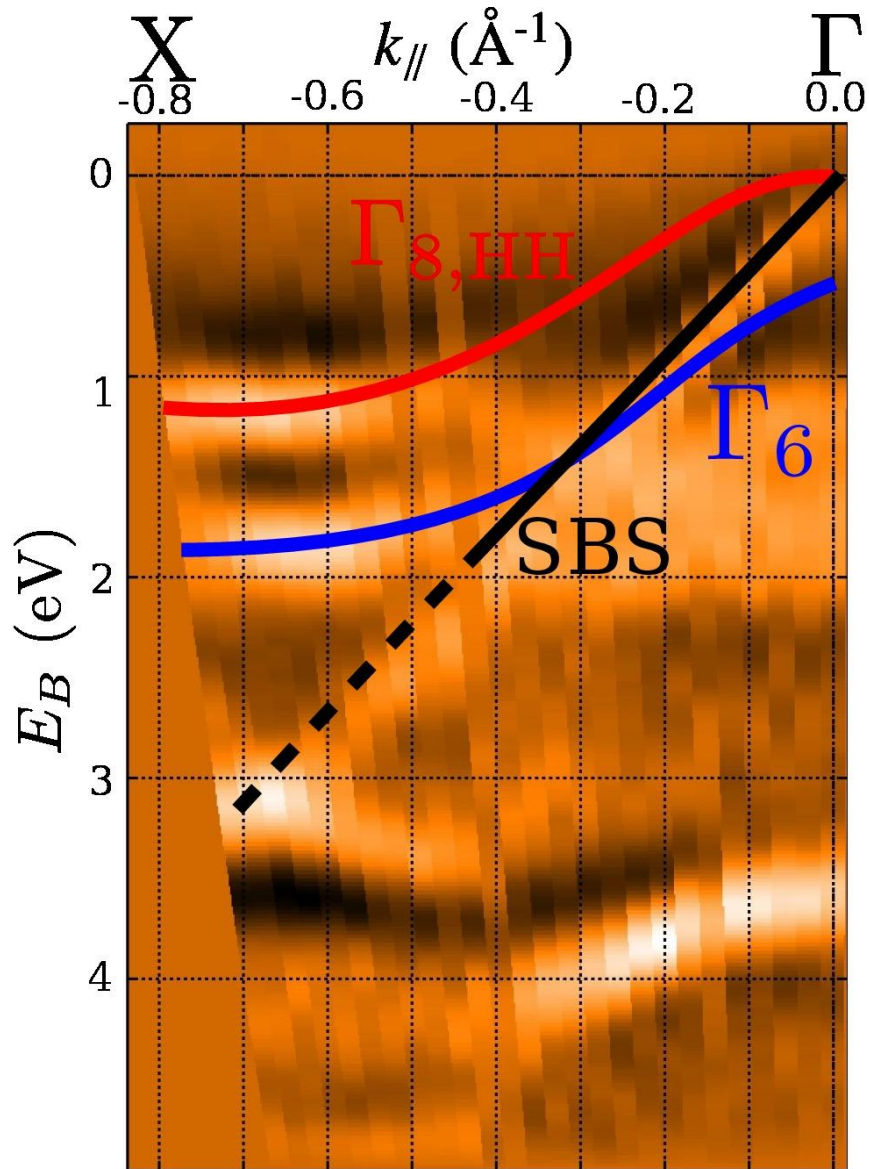
vitesse de bande $v_F = 510^5$ m/sec

Dépendance avec l'énergie des photons

Bands independent
of incident photon
energy:
→ surface state



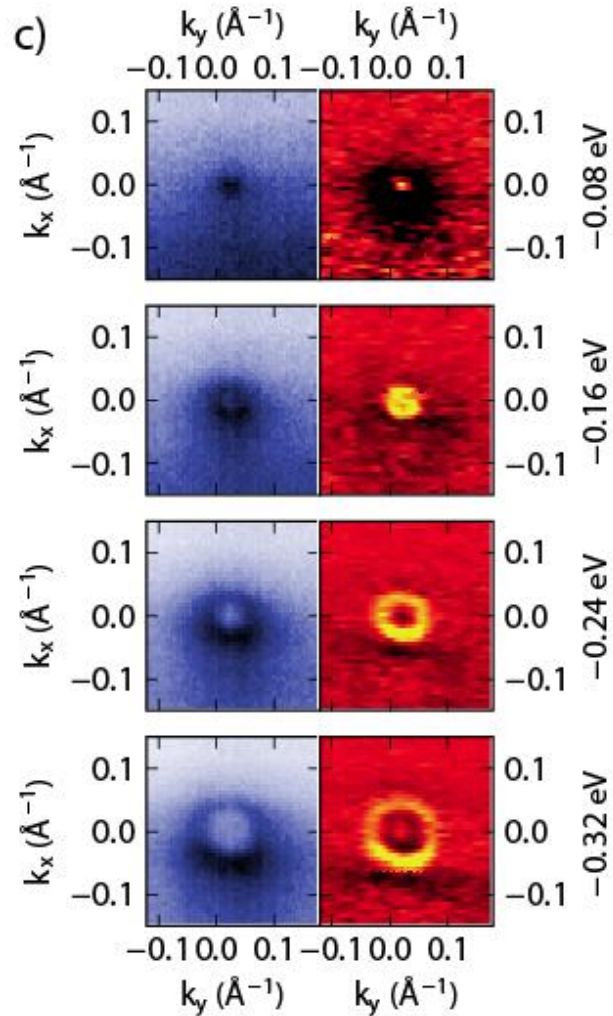
Scan large : les états de surface persistent!



Topological argument:
SS are expected between
inverted bands (Γ_6 Γ_{8lh})
More robust !!!!

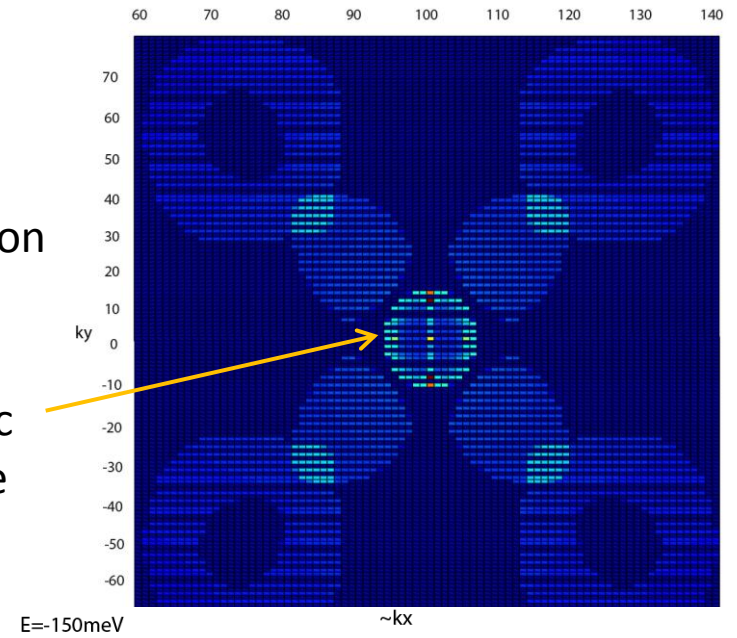
Coupes a energie constante

Circular section of the Dirac cone

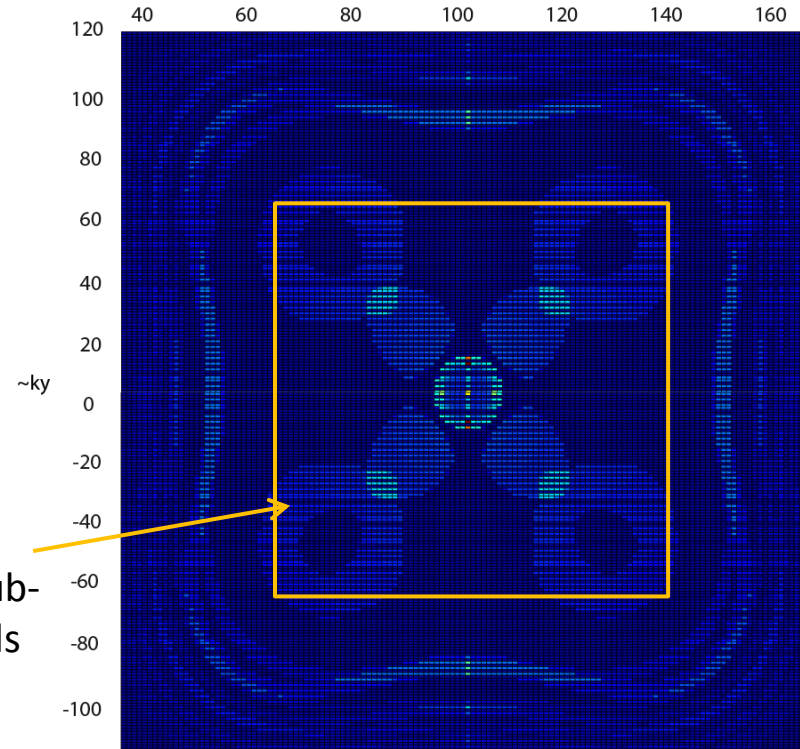


Simulation

Dirac cone



Γ_8 sub-bands



Les structures de bandes REELLES des Zinc-Blende: le modèle de Kane

Etape 0: base d'états propres spin-orbite ($\Delta=1\text{eV}$)

$$\begin{array}{l}
 \left. \begin{array}{l} S, J = \frac{1}{2}, m_j \\ P, J = \frac{3}{2}, m_j \\ P, J = \frac{1}{2}, m_j \end{array} \right\} \begin{array}{l}
 u_1(r) = |\Gamma_6, +1/2\rangle; u_2(r) = |\Gamma_6, -1/2\rangle \\
 u_3(r) = |\Gamma_8, +3/2\rangle; u_4(r) = |\Gamma_8, +1/2\rangle; u_5(r) = |\Gamma_8, -1/2\rangle; u_6(r) = |\Gamma_8, -3/2\rangle \\
 u_7(r) = |\Gamma_7, +1/2\rangle; u_8(r) = |\Gamma_7, -1/2\rangle
 \end{array}
 \end{array}$$

$$H = \begin{pmatrix}
 T & 0 & 0 & 0 & \dots 0 \dots & \dots 0 \dots & \dots 0 \dots & 0 \\
 0 & T & 0 & 0 & 0 & 0 & 0 & 0 \\
 0 & 0 & U+V & 0 & 0 & 0 & 0 & 0 \\
 0 & 0 & 0 & U-V & 0 & 0 & 0 & 0 \\
 0 & 0 & \dots 0 \dots & \dots 0 \dots & U-V & 0 & 0 & \dots 0 \dots \\
 0 & 0 & 0 & 0 & 0 & U+V & 0 & 0 \\
 0 & 0 & 0 & 0 & 0 & 0 & \Delta & 0 \\
 0 & 0 & 0 & 0 & 0 & 0 & 0 & \Delta
 \end{pmatrix}$$

$$\begin{array}{l}
 T = E_c(z) + \frac{\hbar^2}{2m_0} (k_{\parallel}^2 + k_z^2) \\
 U = E_v(z) - \frac{\hbar^2}{2m_0} \gamma_1 (k_{\parallel}^2 + k_z^2) \\
 V = -\frac{\hbar^2}{2m_0} \gamma_2 (k_{\parallel}^2 - 2k_z^2)
 \end{array}$$

MAIS $E_K = P^2/2m$ N'EST PAS
DIAGONAL DANS LA BASE
SPIN-ORBITE

Energie cinétique non-diagonale dans la base SO

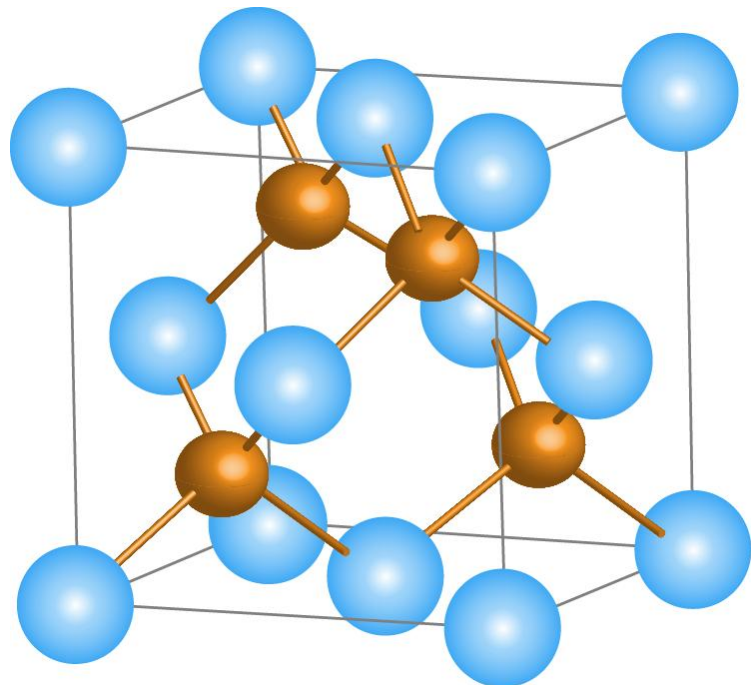
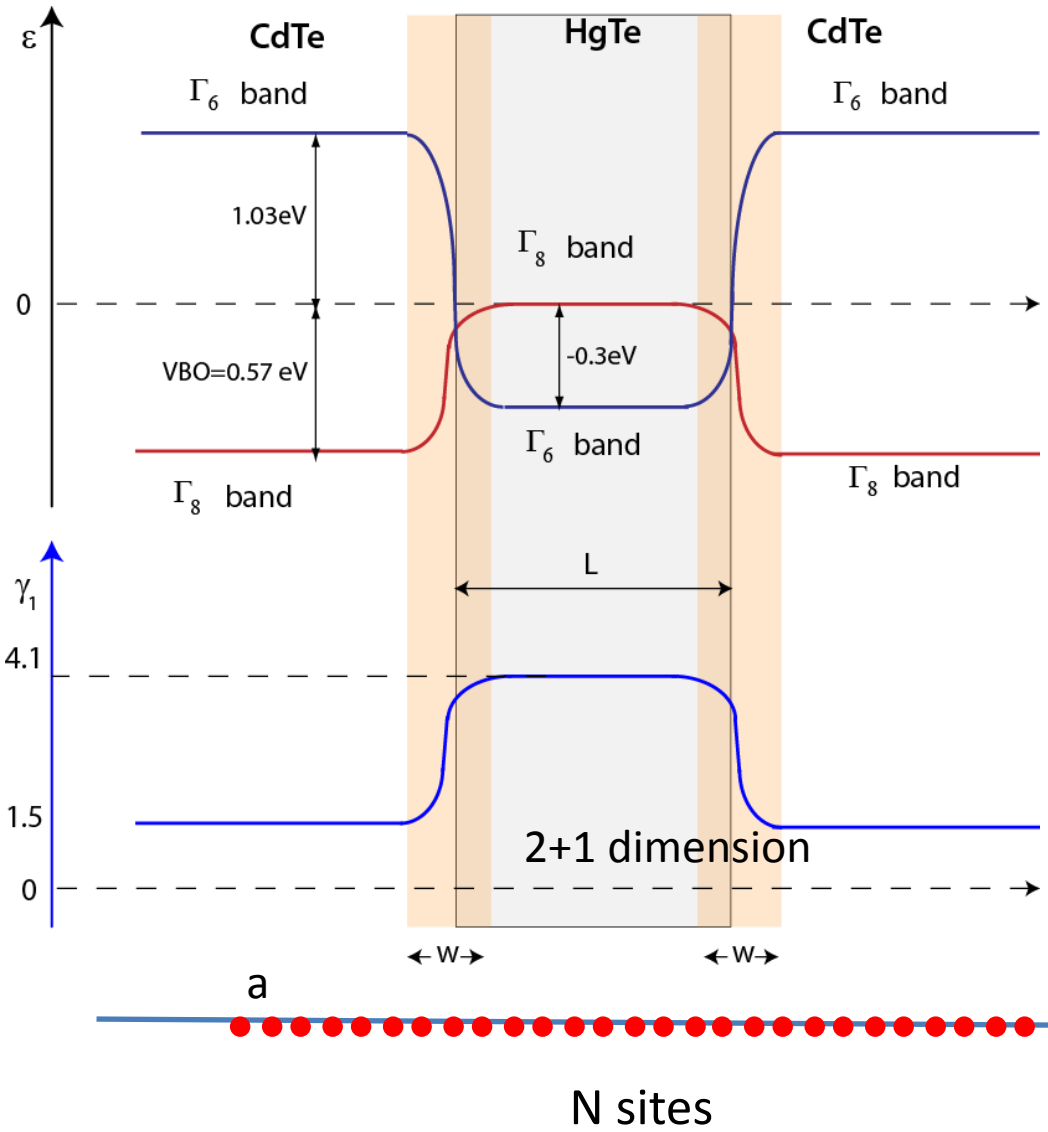
$$\left| L=1, S=\frac{1}{2}; J=\frac{3}{2}, m_J=\frac{1}{2} \right\rangle = \langle \quad | \quad \rangle \left| 1,1; \frac{1}{2}, -\frac{1}{2} \right\rangle + \langle \quad | \quad \rangle \left| 1,0; \frac{1}{2}, \frac{1}{2} \right\rangle$$

Addition des moments cinétiques

Approximation dite « k.P »: expansion autour des points de symétrie Γ (k=0)
 Méthode de la fonction enveloppe (voir le livre de Bastard)

Γ_6		Γ_8				Système inhomogène
$\frac{1}{2}$	$-\frac{1}{2}$	$\frac{3}{2}$	$\frac{1}{2}$	$-\frac{1}{2}$	$-\frac{3}{2}$	
T	0	$-\sqrt{\frac{1}{2}}Pk_+$	$\sqrt{\frac{2}{3}}Pk_z$	$\sqrt{\frac{1}{6}}Pk_-$	0	$k_z \rightarrow \frac{1}{i} \frac{\partial}{\partial z}$ P est très grand ($P^2/2m=19eV$) Valide $k < 0.1$ Ajouter des termes qui décrivent l'effet de bandes lointaines
0	T	0	$-\sqrt{\frac{1}{6}}Pk_+$	$\sqrt{\frac{2}{3}}Pk_z$	$-\sqrt{\frac{1}{2}}Pk_-$	
$-\sqrt{\frac{1}{2}}Pk_-$	0	$U+V$	≈ 0	≈ 0	0	
$\sqrt{\frac{2}{3}}Pk_z$	$\sqrt{\frac{1}{6}}Pk_-$	≈ 0	$U-V$	≈ 0	0	
$\sqrt{\frac{1}{6}}Pk_+$	$\sqrt{\frac{2}{3}}Pk_z$	≈ 0	≈ 0	$U-V$	≈ 0	
0	$\sqrt{\frac{1}{2}}Pk_+$	0	0	≈ 0	$U+V$	

Structure de bandes des systèmes inhomogènes

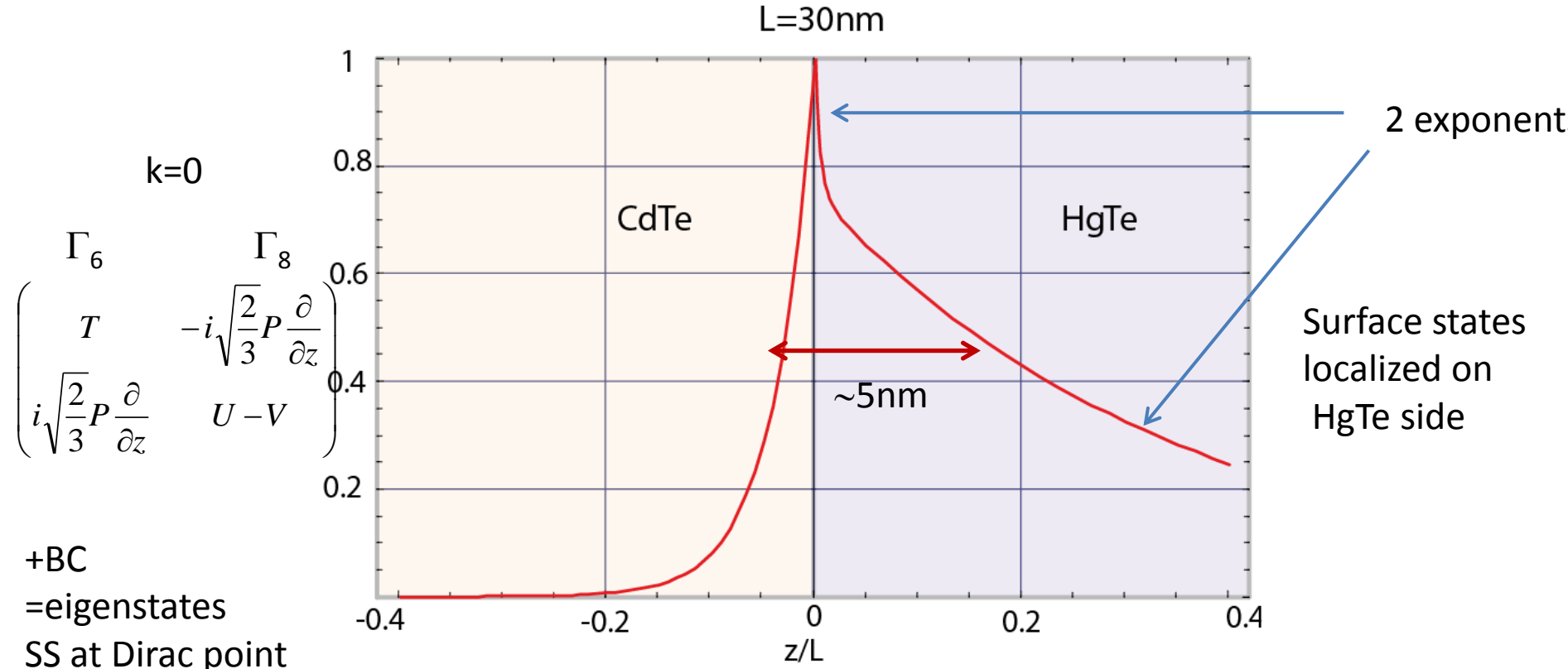


Zinc-Blende materials
GaAs, InAs, GaSb CdTe, ZnTe

8-band Kane model
 $H(k_{||}, \partial/\partial z)$

↑
Good quantum number

Etats de surface au point de Dirac



E_D depends on BC

$$\psi(z=0) = 0 \Rightarrow E_D = \frac{\gamma}{\gamma+1} E_g \approx -0.25 eV \quad \text{below } \Gamma_{8hh}$$

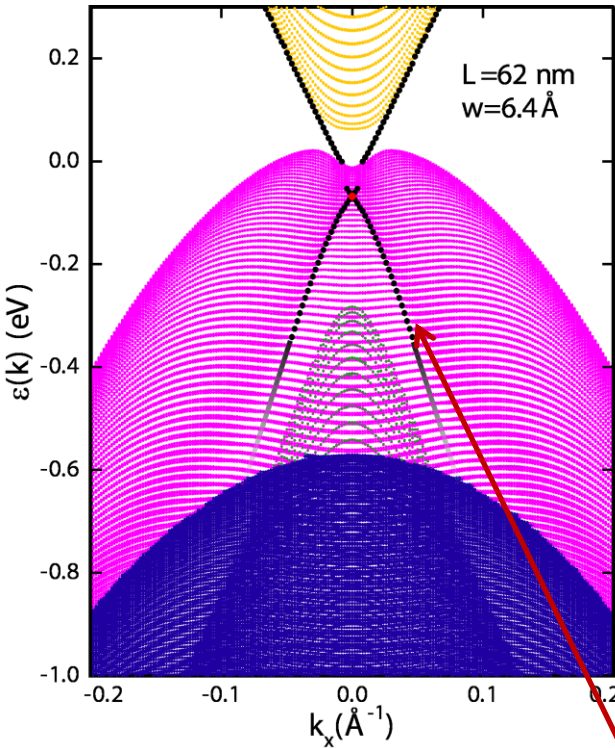
Band velocity
(wo Γ_{8hh} hybridization)

$$\hbar v_F = \sqrt{\frac{\gamma^2 - 1}{\gamma^2 + 1}} \sqrt{\frac{1}{6}} P$$

Etude numérique-a

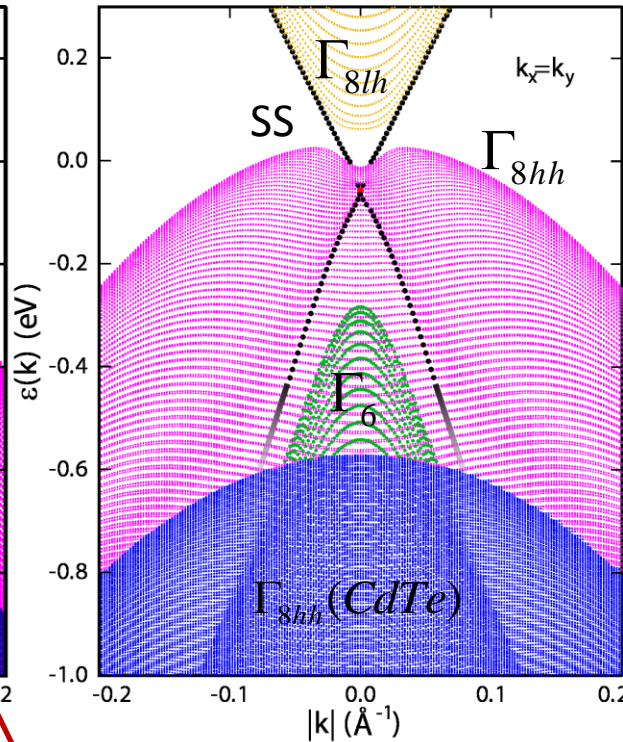
Close to the experiment !

CdTe/HgTe/CdTe



Γ -X1

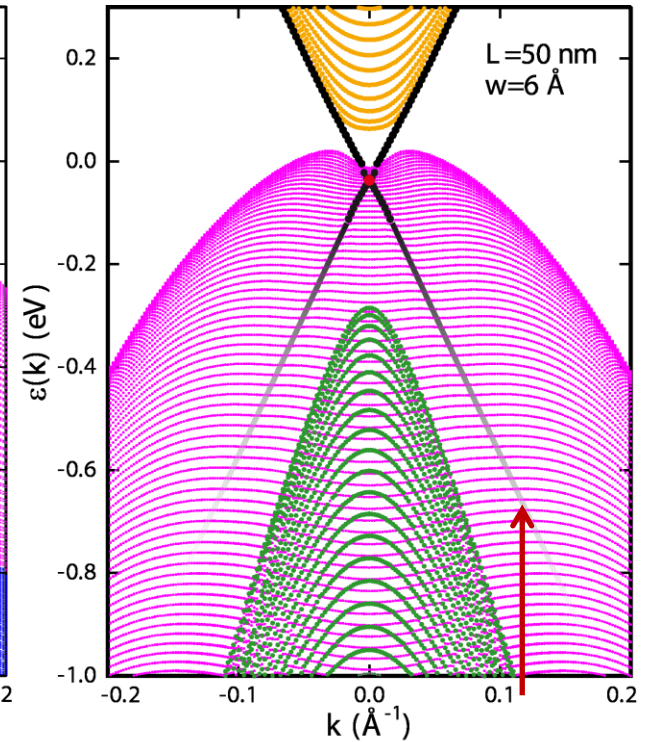
CdTe/HgTe/CdTe



Γ -K

Pente $5.5 \cdot 10^5$ m/sec
 $v_F \equiv P/v_6$

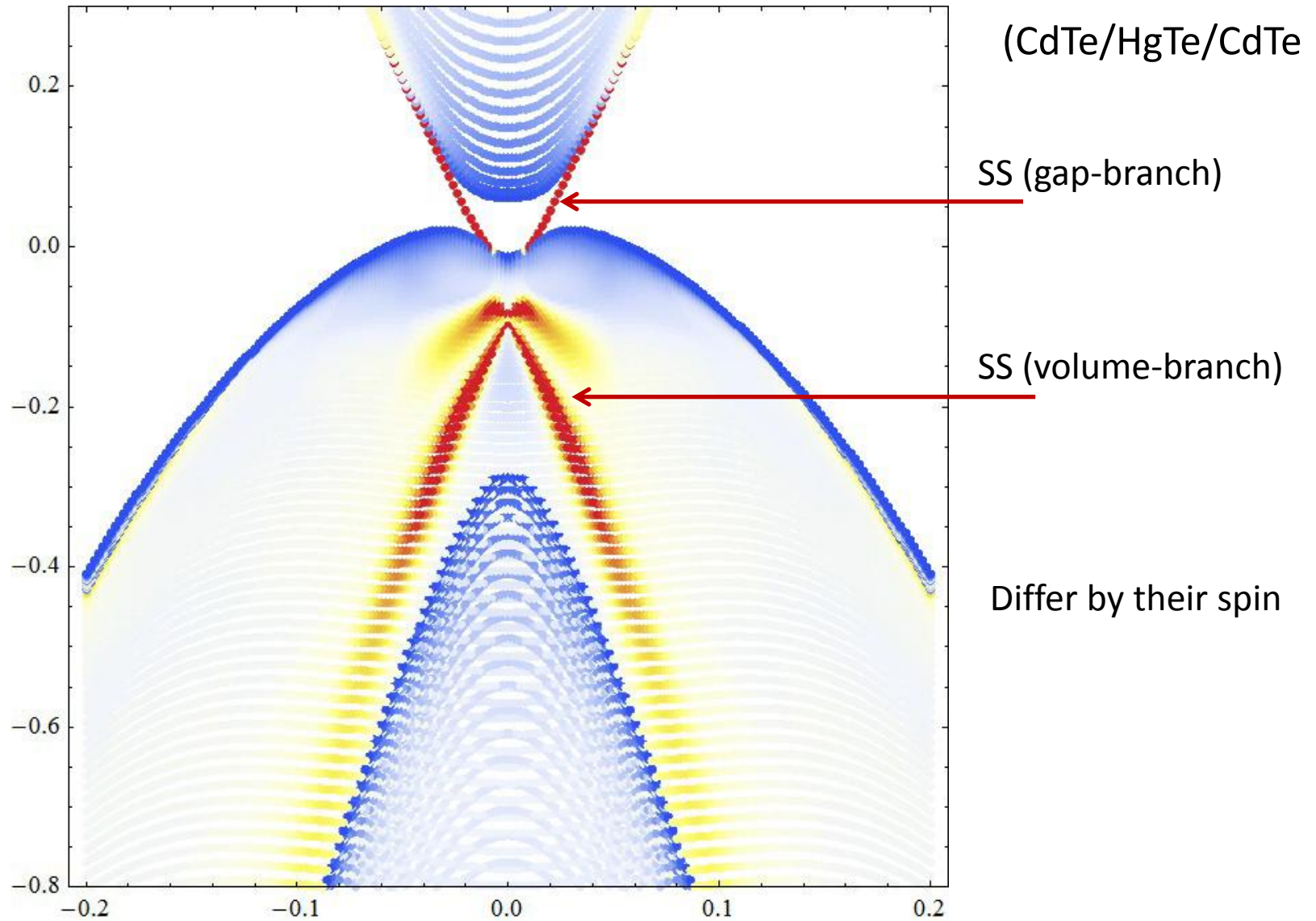
Vac/HgTe/Vac



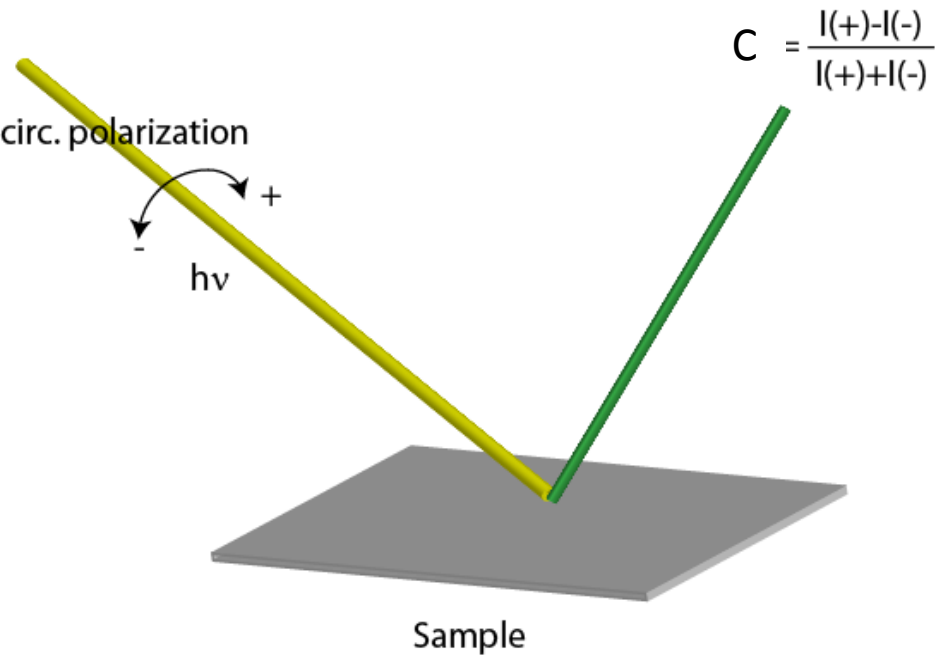
Broadening
 Of SS with
 bulk hybridation
 for $k > 0.1$

En accord avec les expériences

Densité projetée sur la surface (5nm)



Dichroïsme circulaire en ARPES



$$C = -|a|^2 \langle S_z \rangle \cos \phi + 4ab \langle S_x \rangle \sin \phi$$

depend on the crystal symmetries at the surface



$$b \ll a$$
$$C \propto \langle S_z \rangle$$

Dichroïsme circulaire

$$C = -|a|^2 \langle S_z \rangle \cos \phi + 4ab \langle S_x \rangle \sin \phi$$

depend on the crystal symmetries at the surface

HgTe: $T_d \rightarrow C_{2v}$ (strain + surface)

$$\langle \Phi_f | P_x + iP_y | \Phi_i \rangle = ia$$

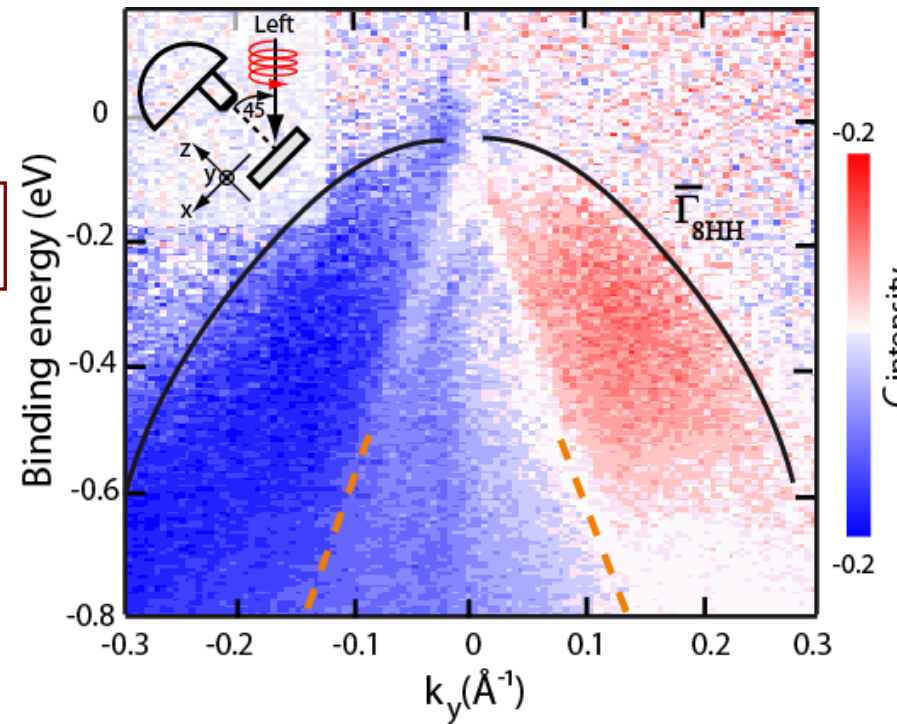
$$\langle \Phi_f | P_z | \Phi_i \rangle = ib$$

$$\vec{P} = \frac{e}{m} \vec{p} - \frac{\hbar e}{4m^2 c^2} \vec{E} \times \vec{S}$$



$$b \ll a$$

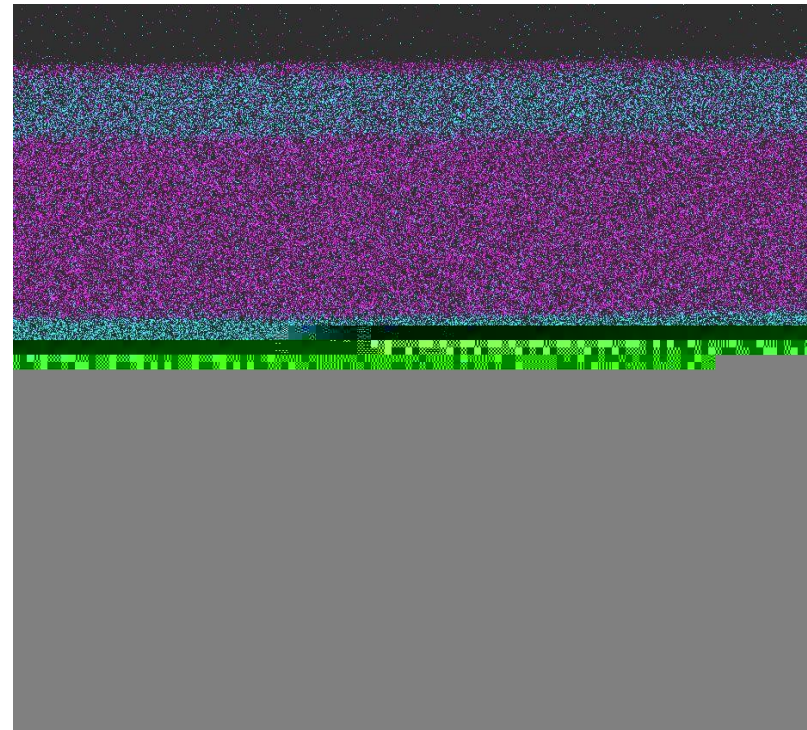
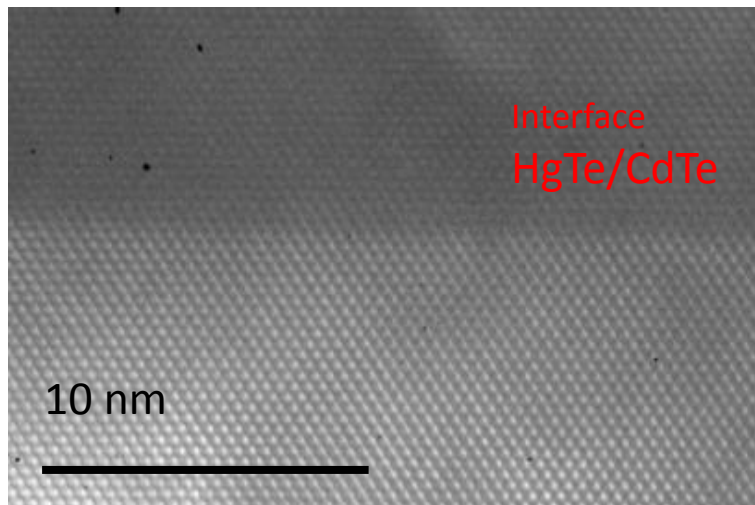
$$C \propto \langle S_z \rangle$$



No dichroism from the surface state
20% dichroism from Γ_{8hh}

Dichroïsme de la bande Γ_{8hh}

- Rashba: SO with surface E_z electric field ← Surface electric field
- Dresselhaus (BIA) but also SIA ← (Hg vs Te termination)



Petit résumé

- L'observation des états de surface 3D démontrent la réalité aux isolants topologiques
- Spécificité d'HgTe: le point de Dirac est au sommet de la bande de valence
- SS peu affecté par les bandes de volume, stable là où la protection topologique n'est plus effective
- Le dichroïsme circulaire révèle une polarisation $\langle S_z \rangle$ des bandes Γ_{8hh} de volume alors que les SS n'ont pas de polarisation dans cette direction